



ژئوشیمی مجموعه‌ی پلوتونیک هشت سر کلیبر؛ شمالغرب ایران

منیر مجرد^{۱*}، محسن مؤید^۲، قادر حسین‌زاده^۲

۱- گروه زمین شناسی، دانشگاه ارومیه

۲- گروه زمین شناسی، دانشگاه تبریز

(دریافت مقاله: ۸۹/۱۲/۷، نسخه نهایی: ۹۰/۴/۴)

چکیده: توده‌های مافیک، اولترامافیک و دایک‌های سینیتی هشت سر کلیبر به وسیله‌ی نهشت‌های آتشفسانی سازند مجید آباد به سن پالئوسن احاطه شده‌اند. این مجموعه در میان گسل‌های معکوس و دوررانشی هوراند، محمود آباد و مختکان محدود شده است. کلینوپیروکسنیت‌ها که از قدیمی‌ترین واحد مجموعه یاد شده‌اند از نظر ژئوشیمیایی ویژگی‌های تولئیت‌های وابسته به قوس آتشفسانی را ثبت کرده و شباهت‌هایی با لایه‌ی قاعده پوسته‌ی اقیانوسی نظری پیروکسنیت‌های نوع A ماسیو روندآ اسپانیا دارند. گابروها که کلینوپیروکسنیت‌ها را احاطه کرده‌اند بخش شوшуونیتی تا آهکی-قلیایی قوس آتشفسانی را تشکیل می‌دهند. ترکیب کلینوپیروکسن در هر دو واحد یاد شده با سنگ انبیاشت اقیانوسی تأخیری قابل قیاس است. دایک‌های کوارتز سینیتی به عنوان جوانترین واحد مجموعه در واحدهای مافیک و اولترامافیک نفوذ کرده‌اند. ماهیت شوшуونیتی، نوع I و وابسته به رویدادهای پس از برخورد این سنگ‌ها با بررسی‌های ژئوشیمیایی مشخص شده‌اند. با توجه به موقعیت زمین‌ساختی، شاید بتوان گفت که مجموعه‌ی آذرین هشت سر به رویدادهای وابسته به فرورانش اقیانوس پالئوتیس بستگی داشته باشد.

واژه‌های کلیدی: هشت سر کلیبر، کلینوپیروکسنیت، گابرو، پالئوتیس دوم.

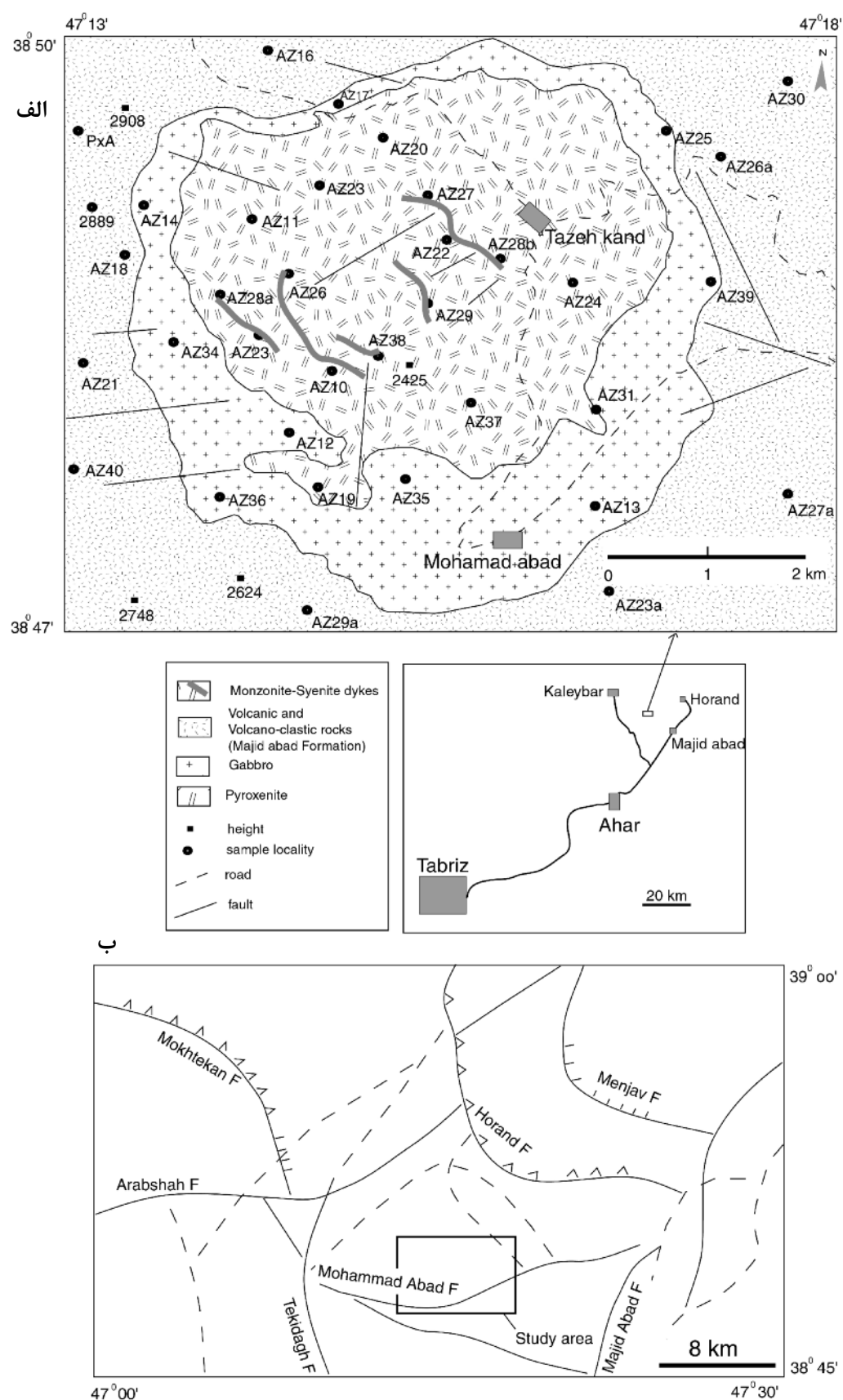
گسل رانده‌ی محمدآباد در جنوب، این همبافت را در بر گرفته‌اند (شکل ۱). توده‌های اولترامافیک پیروکسنیتی، قدیمی‌ترین رخمنون‌های منطقه بوده و بخش مرکزی سنگ‌های آذرین درونی را تشکیل می‌دهند. توده‌های مافیک عبارتند از گابرو، گابرو-دیوریت تا میکروگابرو-دیوریت و گابروی پگماتیتی. این دسته از سنگ‌ها از اطراف، توده‌ی اولترامافیک پیروکسنیتی را در برگرفته‌اند (شکل ۱). دایک‌های سینیتی و مونزونیتی، فاز تأخیری در منطقه محسوب می‌شوند که مجموعه‌ی مافیک و اولترامافیک را قطع کرده‌اند. در این مقاله سعی شده تا با استفاده از شواهد ژئوشیمیایی، جایگاه زمین‌ساختی، خاستگاه و ارتباط ژنتیکی بین گروه‌های مختلف سنگی منطقه مورد بررسی قرار گیرد.

مقدمه

گستره‌ی مورد بررسی در شمالغرب ایران، استان آذربایجان-شرقی و شهرستان کلیبر، بین طول‌های شرقی $۴۷^{\circ} ۱۳' - ۴۷^{\circ} ۴۷'$ و عرض‌های شمالی $۳۸^{\circ} ۵۰' - ۴۷^{\circ} ۳۸'$ قرار گرفته است.

سنگ‌های مافیک - اولترامافیک و دایک‌های سینیتی - مونزونیتی، رخمنون‌های مهم و اصلی این گستره را تشکیل می‌دهند (شکل ۱). در اطراف این سنگ‌ها نهشت‌های آتشفسانی و آذرآواری سازند مجیدآباد به سن پالئوسن رخمنون دارند. توده‌های مافیک - اولترامافیک در هسته یک تاقدیس و با روند محوری شرقی - غربی رخمنون یافته‌اند. گسل‌های مهمی نظری گسل رانده هوراند در شمال، گسل راستا لغز چپ-گرد مجیدآباد در شرق و گسل عربشاه - قلعه‌ملک در غرب و

* نویسنده مسئول، تلفن: ۰۹۱۴ ۳۴۵ ۰۴۵، نامبر: ۷۲۷۷۶۷۰۷، پست الکترونیکی: mmmodjarrad@yahoo.com



شکل ۱ نقشه‌ی (الف) زمین‌شناسی و (ب) ساختاری ساده منطقه‌ی هشت سر همراه با موقعیت نمونه‌برداری‌ها.

ادامه به سمت غرب با گسله‌های متعددی قطع و جابه‌جا شده است. گسل مجیدآباد با ساز و کار راستا لغز چپ‌گرده، این مجموعه را از سمت شرق محدود کرده و به احتمال زیاد، ادامه‌ی این مجموعه را به سمت جنوب جابه‌جا کرده است. رخنمون سنگ‌های مافیک - اولترامافیک کوههای هشت‌سر در هسته‌ی تاقدیس کوه هشت‌سر، شاید ادامه‌ی این مجموعه قدیمی در منطقه باشد. با توجه به ساز و کار فشاری گسل محمدآباد در جنوب همبافت یاد شده، به نظر می‌رسد که بالاًمدگی و فرسایش زیاد در کمربالای این گسل منجر به پیدایش این همبافت در سطح شده است.

ادامه این تاقدیس به سمت غرب توسط گسل رانده و راستگرد مختکان محدود شده و تغییر در روند محور چین‌های موجود در بخش غربی و شرقی گسل مختکان، چرخش‌های مکرری را در مرز گسلی نشان می‌دهد (شکل ۱). ادامه‌ی مجموعه‌ی دگرگون و سنگ‌های مافیک سمت غرب گسل مختکان در شمال کلیبر چنان است که در منطقه‌ی کیارق تحت عنوان دگرگونهان قبل از کرتاسه از آنها یاد شده است [ورقه‌ی ۱/۱۰۰۰۰ کلیبر [۱]]. به عقیده‌ی مؤید و مجرد [۳] این زمیندرز به وسیله‌ی شاخه‌ی شرقی گسل ارس در سمت غرب محدود شده و ادامه‌ی آن در خارج از مرزهای ایران (جمهوری ارمنستان و آذربایجان) قرار دارد.

نمونه‌برداری و روش آنالیز

سنگنگاری ۳۵ مقطع نازک از سنگ‌های آذرین منطقه‌ی مورد بررسی قرار گرفتند. از این تعداد روی نمونه‌های انتخابی آنالیز شیمیایی از کانی‌ها، عناصر اصلی، کمیاب و نادر خاکی سنگ، کل انجام شد. ترکیب شیمیایی آمفیبول، کلینوپیروکسن، پلازیوکلار و هماتیت موجود در گابروها و پیروکسنیت‌ها به-وسیله‌ی دستگاه ریزپردازشی (EPMA) در مرکز تحقیقات و فرآوری مواد معدنی ایران تعیین شد. پاترده نمونه معرف نا-هوزاده‌گی از سنگ‌های مختلف به روش ICP-MS از سوی شرکت ALS-Chemex کانادا برای دستیابی به عناصر کلیدی تجزیه شدند.

نتایج

سنگنگاری گابرو

توده گابروئی تا گابرو - دیوریتی دارای کانی‌شناسی اصلی پلازیوکلار (۰ تا ۶۰ درصد)، کلینوپیروکسن (۲۰ تا ۲۵ درصد) و آمفیبول (۱۰ تا ۱۵ درصد) و کانی‌های فرعی

زمین‌شناسی منطقه

مجموعه‌ی پلوتونیک کوههای هشت‌سر در اطراف روستاهای تازه‌کند و محمدآباد و در هسته‌ی یک تاقدیس با روند محوری شرقی - غربی رخنمون یافته است. در نقشه‌ی زمین‌شناسی ۱:۱۰۰۰۰۰ ۱۱ کلیبر، این مجموعه تحت عنوان توده‌های نفوذی الیگومن و با ترکیبی در حد دیوریت تا بیوتیت دیوریت و گرانیت تا گرانو دیوریت معرفی شده‌اند [۱]. واحدهای یاد شده در این پژوهش در نقشه تهیه شده توسط سازمان زمین‌شناسی با جزئیات مورد اشاره قرار نگرفته‌اند. بررسی‌های زمین‌شناسی این منطقه نشان می‌دهد که بخش مرکزی و بیشتر رخنمون یاد شده را سنگ‌های پیروکسنیتی (کلینوپیروکسنیت تا الیوین کلینوپیروکسنیت و کلینوپیروکسنیت پلازیوکلارزدار) تشکیل می‌دهند (شکل ۱). ارتباط ژنتیکی این واحد با توده‌های مافیک و نفوذی‌های فلزیک در نقشه‌ی سازمان زمین‌شناسی مبهم است. وجود زینولیت‌های بزرگی از پیروکسنیت در داخل گابروها (احتمالاً در اثر پدیده‌ی انسداد حرکت) و نیز دایک‌های گابروئی در داخل پیروکسنیت‌ها حکایت از تأخیر سنی گابروها و گابرو - دیوریت‌ها نسبت به پیروکسنیت‌ها دارد. دایک‌های سینیتی، مجموعه‌های یاد شده را قطع کرده و از همه‌ی آنها جوانترند.

گسل رانده‌ی محمدآباد با راستای شرقی - غربی و شیب به سمت شمال، در جنوب این مجموعه نقش مهمی در رخنمون واحدهای قدیمی‌تر در سطح داشته است. با توجه به رخنمون مجموعه‌های مافیک - اولترامافیک در هسته‌ی تاقدیس موجود در نهشته‌های پالئوسن و عدم مشاهده همبry گرمایی این توده‌ها با نهشته‌های آتشفشاری و آذرآواری سازند مجید آباد، به نظر می‌رسد که این مجموعه سنی قدیمی‌تر از پالئوسن داشته باشد. زون چین‌خورده‌ی اللهیارلو - هوای با روند تقریبی شرقی - غربی در شمال‌غربی ایران و شرق و شمال‌شرقی گستره‌ی مافیک - اولترامافیک سرپانتینی شده به وسیله‌ی سنگ‌های دگرگونی با مرز گسله پرشیبی پوشیده می‌شوند. شیب این گسل به سمت شمال بوده و باعث راندگی مجموعه‌ی دگرگون روی مجموعه‌ی مافیک - اولترامافیک (افیولیت؟) شده است [۲]. ارتباط ساختاری موجود نشان می‌دهد که شیب فرورانش به سمت شمال بوده و مجموعه‌ی دگرگون حاشیه‌ی فعال قاره-ای روی مجموعه افیولیتی رانده شده‌اند. به اعتقاد مؤید و مجرد [۳] این مجموعه بازتابی از زمین درز پالئوتیس دوم است که طی فاز سیمیرین پیشین شکل گرفته است. این مجموعه در

فشارسنگی فشاری معادل ۸ تا ۱۰ کیلوبار و دمای ۸۰۰ تا ۹۰۰ درجه‌ی سانتیگراد برای تبلور گابروها و کلینوپیروکسنتیت‌های منطقه هشت سر بدست آمده است.

ژئوشیمی سنگ کل عناصر اصلی

فراوانی سیلیس در کلینوپیروکسنتیت‌ها ۳۷ تا ۴۰ درصد است (جدول ۲). میزان MgO و CaO از واحدهای سنگی دیگر به مراتب بالاتر بوده (به ترتیب ۱۱٪ و ۱۶-۱۹٪)، در مقابل مقدار Al_2O_3 نسبت به گابروها و سینیت‌ها کمتر است (اغلب ۰.۶٪). فراوانی سیلیس در گابروها (بیشتر در حدود ۵۰-۴۲٪) و عدد منیزیم در این سنگ‌ها پائین (۰-۳۶٪) است. تغییرات درصد Al_2O_3 از ۱۴-۱۹٪ و CaO از ۸ تا ۱۳٪ است (جدول ۲). سینیت‌ها پر سیلیس‌ترین (با بیش از ۶۲٪) و آلومینیومی‌ترین (بالاتر از ۱۹٪) واحد آذرین مجموعه‌ی هشت سر است. در حالیکه از اکسیدهای منیزیم (کمتر از ۰.۲٪) و کلسیم (حدود ۰.۱٪) فقیر است. بررسی تغییرات اکسیدهای عناصر اصلی نسبت به MgO نشان می‌دهد که در این مجموعه مقادیر TiO_2 , Fe_2O_3 , CaO با منیزیم را بطهی مستقیم و K_2O با آن همخوانی منفی دارند (شکل ۲). این امر با حضور فلدسپارها در سینیت‌ها و گابروها و اوژیت و هماتیت در کلینوپیروکسنتیت‌ها قابل توجیه است.

در محاسبات نورم این مجموعه به ندرت کوارتز (فقط در سینیت‌ها) مشاهده می‌شود در حالیکه در همه‌ی کلینوپیروکسنتیت‌ها و گابروها نفلین وجود دارند (جدول ۲). آلیت در کلینوپیروکسنتیت‌ها حضور نداشته ولی در گابروها کمتر از ۲۰٪ و در سینیت‌ها تا ۵۰٪ ظاهر شده است. لویسیت به مقدار کم فقط در کلینوپیروکسنتیت‌ها دیده می‌شود. الیوین در سینیت‌ها صفر، در گابروها تا ۵ درصد و در کلینوپیروکسنتیت‌ها تا ۱۰٪ افزایش می‌یابد. از ترکیب اکسید عناصر اصلی (مجموع قلیاً نسبت به سیلیس ۱۶٪) برای رده بندی ژئوشیمیایی سنگ‌های مجموعه هشت سر استفاده شد (شکل ۴). کلینوپیروکسنتیت‌ها در گستره‌ی فوئیدیت، گابروها در گستره‌ی تراکی بازالت و سینیت‌ها در گستره‌ی تراکیت قرار گرفته‌اند.

فلوگوپیت (۲ تا ۵ درصد)، آپاتیت، تیتانیت و کانی‌های کدر است. بافت این دسته از سنگ‌ها، نیمه شکلدار دانه‌دار تا افیتیکی بوده و بافت‌های فرعی پوئی‌کلیتیک نیز در آنها مشاهده می‌شوند.

پیروکسنتیت

این سنگ‌ها بیشتر از کلینوپیروکسن‌های شکل‌دار تا نیمه‌شکل‌دار (۷۰ تا ۸۰ درصد)، الیوین (۵ تا ۱۰ درصد)، کانی کدر (۱۰ تا ۱۵ درصد) و مقادیر جزئی ارتوپیروکسن، فلوگوپیت، آپاتیت و هرسی نیت تشکیل شده‌اند. در بعضی سنگ‌ها پلازیوکلاز و آمفیبول به میزان ۵ تا ۱۰ درصد مشاهده می‌شوند. لایه‌بندی ظاهری مشاهده شده در برخی از نمونه‌ها به تغییر در اندازه‌ی ذرات وابسته بوده و بخش ریزدانه از بخش درشت دانه تفکیک شده است. سنگنگاری دو گروه سنگی فوق به تفصیل مورد بحث قرار گرفته است [۵,۴].

دایک‌های سینیتی

در دایک‌های تا خیری کوارتز سینیتی کانی‌های اصلی عبارتند از فلدسپار پرتیتی قلایی شکل‌دار تا نیمه‌شکل‌دار (۶۰ تا ۷۰ درصد)، پلازیوکلاز منطقه‌ای نیمه‌شکل‌دار (۱۰ تا ۱۵ درصد) و کانی‌های فرعی شامل بلورهای ریز و بی‌شکل کوارتز، آمفیبول شکل‌دار، بیوتیت و کلینوپیروکسن، و نیز مقادیر جزئی تیتانیت، آپاتیت و زیرکن. فلدسپارها به سرسیت و کلینوپیروکسن‌ها به بیوتیت تجزیه شده‌اند. بافت اصلی این سنگ‌ها دانه‌دار تا تراکیت‌های بوده و بافت‌های فرعی پوئی‌کلیتیک و آنتی‌راپاکیوی نیز در آنها مشاهده می‌شوند.

شیمی کانی‌ها و براورد دما و فشار

براساس آنالیز ریزپردازشی انجام گرفته، ترکیب کانی پلازیوکلاز در گابروها از آنورتیت غنی است و در گستره‌ی بیتونیت قرار می‌گیرد [۴]. پیروکسن در گابروها و کلینوپیروکسنتیت‌ها از نوع دیوپسید است (جدول ۱). ترکیب کانی آمفیبول در این سنگ‌ها چرماتیت تا پارگازیت ارزیابی شده است. کانی‌های کدر موجود در کلینوپیروکسنتیت‌ها از نوع هماتیت است.

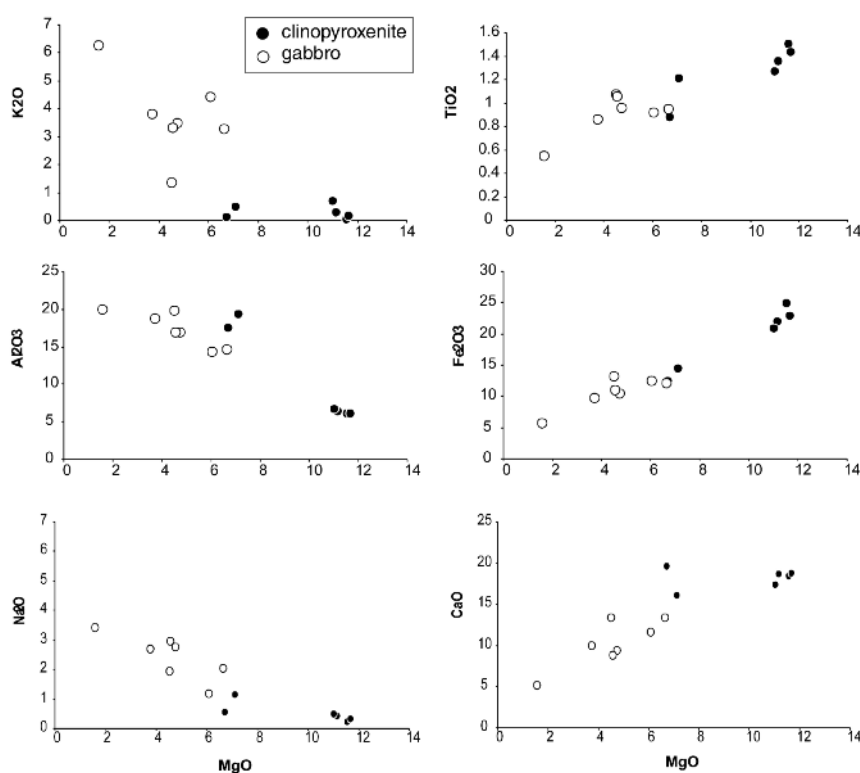
با توجه به در دست بودن ترکیب کانی‌های سازنده‌ی گابروها و پیروکسنتیت‌ها، مؤید و همکاران [۴] دما و فشار تبلور این سنگ‌ها را ارزیابی کرده‌اند. بر اساس روش‌های مختلف دما-

جدول ۱ خلاصه‌ای از ترکیب کانی‌شناسی و نتایج دما - فشار سنجی گابروها و پیروکسینیت‌های هشت سر، برگرفته از [۴].

SiO ₂	TiO ₂	Al ₂ O ₃	Fe ₂ O ₃	FeO	MnO	MgO	CaO	Na ₂ O	K ₂ O	Total	کانی
گابرو											
۴۰,۲۰	۲,۳۰	۱۳,۷۲	۲,۱۰	۹,۷۵	۰,۰۷	۱۳,۴۰	۱۲,۳۹	۲,۴۷	۱,۷۲	۹۸,۱۲	آمفیبول
۴۸,۰۰	۱,۰۱	۶,۳۴	۵,۰۳	۳,۳۷	۰,۲۲	۱۲,۶۶	۲۳,۱۴	۰,۵۳	۰,۰	۱۰۰,۳۰	کلینوپیروسن
۴۵,۸	۰,۰	۰,۰۲	۰,۵۲	۰,۰	۰,۰	۰,۰	۱۸,۳۲	۱,۲۸	۰,۰۱	۹۹,۹۹	پلازیوکلار
کلینوپیروسنیت											
۴۰,۶۹	۲,۳۱	۱۴,۳۱	۲,۱۵	۸,۳۷	۰,۰۱	۱۴,۲۴	۱۲,۳۹	۲,۱۹	۱,۸۴	۹۷,۵۰	آمفیبول
۴۹,۵۲	۰,۷	۵,۴۸	۲,۴۹	۴,۳۸	۰,۰۸	۱۳,۶۵	۲۲,۴۵	۰,۲۲	۰,۰۰	۹۹,۹۴	کلینوپیروسن

جدول ۲ نتایج اکسیدهای عنصر اصلی سنگ‌های پلوتونیک مجموعه‌ی هشت سر کلیبر همراه با محاسبه‌ی نورم CIPW.

سینیت		گالبرو							کلینوپیروکسینیت						
AZ28	AZ38	AZ1	AZ25	AZ29	AZ30	AZ33	AZ34	AZ39	AZ11	AZ17	AZ22	AZ32	AZ35	AZ37	
۶۲,۸۳	۶۲,۵۵	۴۹,۹۹	۴۲,۳۱	۴۸,۷۳	۴۵,۳۰	۵۴,۵۹	۴۷,۳۲	۴۴,۶۵	۳۸,۸۲	۳۹,۹۶	۳۷,۴۷	۳۹,۶۵	۴۰,۷۶	۳۹,۲۵	SiO ₂
۰,۲۶	۰,۲۹	۰,۹۵	۱,۰۶	۱,۰۴	۰,۹۴	۰,۵۴	۰,۸۵	۰,۹۱	۱,۳۵	۱,۲۰	۱,۴۹	۱,۲۶	۰,۸۷	۱,۴۲	TiO ₂
۱۹,۶۱	۱۹,۱۷	۱۶,۷۱	۱۹,۷۰	۱۶,۷۲	۱۴,۴۵	۱۹,۷۹	۱۸,۵۹	۱۴,۱۵	۶,۲۵	۱۹,۱۷	۵,۹۳	۶,۵۱	۱۷,۴۴	۵,۹۶	Al ₂ O ₃
۲,۳۵	۱,۹۹	۱۰,۲۷	۱۳,۰۱	۱۰,۸۶	۱۱,۸۸	۵,۴۶	۹,۴۶	۱۲,۱۹	۲۱,۷۷	۱۴,۲۴	۲۴,۷۳	۲۰,۶۲	۱۲,۳	۲۲,۶	Fe ₂ O ₃
۰,۰۸	۰,۰۳	۰,۱۸	۰,۲۲	۰,۱۲	۰,۲۱	۰,۱۸	۰,۲۱	۰,۲۱	۰,۲۲	۰,۱۵	۰,۲۱	۰,۱۹	۰,۱۲	۰,۱۹	MnO
۰,۱۴	۰,۱۸	۴,۷۹	۴,۵۶	۴,۶۱	۶,۶۸	۱,۶۱	۳,۷۹	۶,۱۱	۱۱,۱۹	۷,۱۴	۱۱,۰۹	۱۱,۰۵	۶,۷۶	۱۱,۷	MgO
۱,۲۴	۱,۱۹	۹,۳۱	۱۳,۳۲	۸,۶۹	۱۳,۲۵	۵,۰۷	۹,۸۱	۱۱,۰۳	۱۸,۵۸	۱۶,۰۱	۱۸,۳۱	۱۷,۲۸	۱۹,۴۳	۱۸,۶۲	CaO
۶,۰۹	۵,۹۴	۲,۷۲	۱,۹۲	۲,۹۴	۲,۰۰	۳,۳۹	۲,۶۷	۱,۱۵	۰,۴۱	۱,۱۲	۰,۲۱	۰,۴۷	۰,۵۳	۰,۳۰	Na ₂ O
۵,۷۶	۶,۰۸	۳,۴۵	۱,۳۲	۳,۲۹	۳,۲۳	۶,۲۳	۳,۷۵	۴,۳۷	۰,۲۵	۰,۴۴	۰,۰۲	۰,۸۷	۰,۱۰	۰,۱۲	K ₂ O
۰,۰۳	۰,۰۳	۰,۳۸	۰,۷۱	۰,۴۱	۰,۵۰	۰,۲۷	۰,۵۷	۰,۵۰	۰,۰۴	۰,۰۴	۰,۰۱	۰,۰۵	۰,۰۷	۰,۰۲	P ₂ O ₅
۰,۱۹	۰,۶۲	۰,۶۱	۰,۶۱	۱,۵۰	۰,۳۶	۱,۳۳	۱,۶۹	۲,۱۰	-۰,۰۲	۰,۳۶	-۰,۱۹	۰,۶۵	۰,۴۷	-۰,۱۱	LOI
۹۸,۶	۹۸,۱۲	۹۹,۶۱	۹۹,۱۰	۹۹,۲۰	۹۹,۰۴	۹۸,۷۸	۹۹,۰۰	۹۸,۱۴	۹۸,۹۲	۹۹,۹۹	۹۹,۸	۹۸,۴۶	۹۸,۹۹	۱۰۰,۱	Total
نتایج محاسبه نورم															
۲,۶۶	۲,۰۸	۰	۰	۰	۰	۰	۰	۰	۰	۰	۰	۰	۰	۰	Q
۳۴,۶۳	۳۶,۹۱	۲۰,۸۳	۸,۰۴	۲۰,۱۵	۱۹,۶	۳۲,۱۶	۲۳,۰۳	۲۴,۳۵	۰	۰	۰	۰	۰	۰	Pr
۵۲,۳۱	۵۱,۵۳	۲۲,۶۲	۸,۲۸	۲۲,۲۹	۰,۰۹	۱۰,۱۷	۱۳,۵۷	۰	۰	۰	۰	۰	۰	۰	Ab
۶,۰۸	۵,۸۸	۲۲,۶۳	۴۲,۴۲	۲۲,۴۶	۲۱,۴	۱۷,۷۲	۲۸,۶۷	۲۱,۶۱	۱۴,۹۱	۴۶,۶۵	۱۵,۵۱	۱۴,۲۳	۴۶,۰۷	۱۴,۸۱	An
۰	۰	۰	۰	۰	۰	۰	۰	۲,۲۹	۱,۲	۲,۰۷	۰,۰۹	۳,۲۴	۰,۴۸	۰,۵۷	Lc
۰	۰	۰,۴۶	۴,۵۷	۱,۳۲	۹,۳۵	۸,۰۴	۰,۳۵	۰,۰۶	۱,۹۴	۵,۲۱	۰,۹۸	۲,۲۴	۲,۴۹	۱,۴	Ne
۰	۰	۸,۸۸	۸,۹۳	۷,۸۱	۱۷,۹۷	۱,۱۹	۷,۶۹	۱۴,۸۹	۳۲,۳۷	۱۴,۱۲	۳۲,۳	۳۱,۲۴	۲۱,۹۳	۳۳,۰۵	Di(wo)
۰	۰	۵,۹۴	۴,۹۲	۵,۱۶	۱۲,۰۸	۰,۱۴	۴,۰۵	۹,۰۵	۱۹,۳۶	۸,۴۲	۱۷,۸۱	۱۸,۵۴	۱۲,۰۴	۱۹,۲۱	Di(en)
۰	۰	۲,۲۶	۳,۶۷	۲,۰۷	۴,۵	۱,۱۷	۲,۷۵	۴,۹۹	۱۲,۴۲	۴,۹۵	۱۳,۲۵	۱۱,۰۸	۷,۷۵	۱۲,۲۵	Di(fs)
۰	۰	۴,۴	۴,۷۸	۴,۷۴	۳,۰۴	۲,۳۶	۳,۷۱	۴,۹۴	۶,۶۴	۶,۸	۸,۲۸	۷,۱۸	۳,۰۲	۷,۴	Ol(fo)
۰	۰	۱,۸۵	۳,۹۴	۲,۱	۱,۴۵	۲۲,۲۲	۲,۴۸	۳,۰۱	۴,۷۱	۴,۴۱	۶,۸	۴,۷۳	۱,۹۸	۵,۲۱	Ol(fa)
۰,۲۷	۱,۰۹	۶,۴۵	۶,۷۸	۶,۹۲	۷,۰۸	۳,۶۳	۵,۲۵	۶,۳۳	۹,۳۶	۶,۶۷	۹,۸۶	۹,۲۵	۵,۳	۹,۵۲	Mt
۰,۰۷	۰,۰۷	۱,۸۴	۲,۰۷	۲,۰۵	۱,۸۳	۰,۹	۱,۶۸	۱,۸۲	۲,۶۵	۲,۳۲	۲,۹	۲,۵	۱,۷	۲,۷۵	Ilm
۰,۰۷	۰,۰۷	۰,۸۵	۱,۶	۰,۹۳	۱,۱۲	۰,۵۱	۱,۲۹	۱,۱۵	۰,۰۹	۰,۰۹	۰,۰۲	۰,۱۱	۰,۱۶	۰,۰۴	Ap



شکل ۲ نمودارهای تغییرات اکسید عناصر اصلی نسبت اکسید منیزیم در واحدهای مافیک و اولترامافیک مجموعه‌ی آذرین هشت سر. اکسیدهای TiO₂, Fe₂O₃, CaO با منیزیم را بطهی مستقیم و K₂O, Al₂O₃, Na₂O با آن رابطه عکس دارند.

کلینوپیروکسنیت‌ها آهکی-قلیایی و گابروها از نوع شوشونیتی تا آهکی-قلیایی ارزیابی می‌شود (شکل ۴).

برای ارزیابی فراوانی و نسبت بین عناصر کمیاب و مقایسه‌ی آن با سنگ‌های مشابه برای آگاهی از جایگاه تشکیل سنگ‌های آذرین مجموعه هشت‌سر، نمودار عنکبوتی که نسبت به گوشه‌های اولیه به هنجار شده برای این سنگ‌ها ترسیم شد (شکل ۵). در کلینوپیروکسنیت‌ها بیشتر عناصر کمیاب فراوانی ۱۰ تا ۵۰ برابر نسبت به گوشه‌های اولیه نشان می‌دهند در حالیکه Nb در آنها کمتر از گوشه‌های اولیه است. علاوه بر Nb شدگی‌هایی از HFSE و غنی شدگی از Ba, K, Sr, Ti در این گروه مشاهده می‌شود.

در گابروها غنی شدگی شدید از U, Th, Rb, Ba, K, Pb و قابل توجه از Sr, P, Eu, Gd مشاهده می‌شود. تهی شدگی واضحی از Nb, Ta, Ti, Hf, Zr در این گروه مشاهده می‌شود. عناصر LILE از قبیل Rb, Ba, U در گابروها بیهنجاری مثبت شدیدی نشان می‌دهند (شکل ۵).

در سینیت‌ها تهی شدگی از Ba, Sr, P, Ta, Nb, Ti و نیز Rb, Th, U, K مانند LILE در مقابله بیشتر باشد. در این گروه فراوان هستند (شکل ۵).

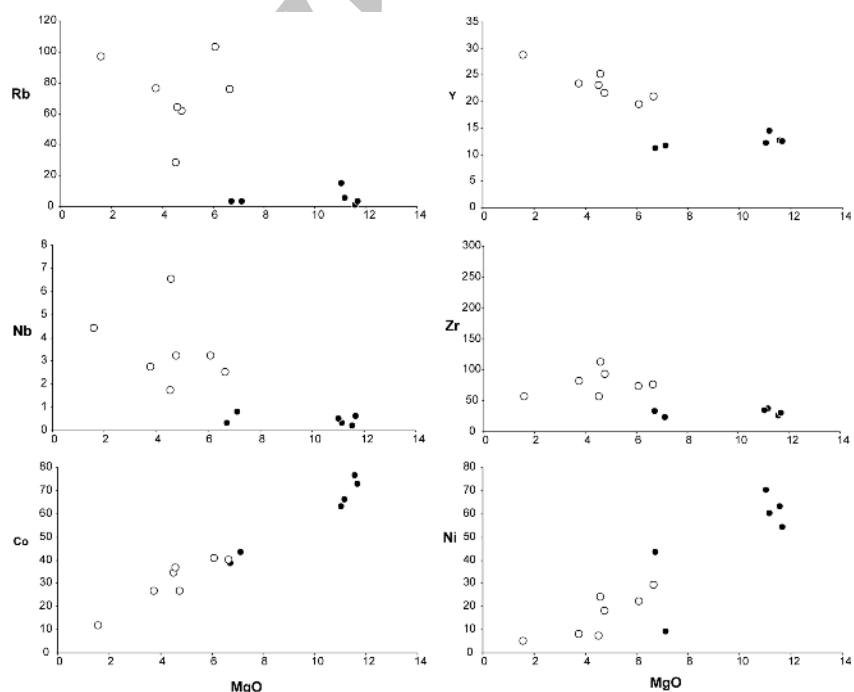
عناصر کمیاب

فراوانی Y در سنگ‌های این مجموعه پائین است (از ۱۲ ppm در کلینوپیروکسنیت‌ها تا ۲۵ ppm در گابروها و ۲۸ ppm در سینیت‌ها). مقدار Nb نیز در کل کم است ولی از کلینوپیروکسنیت‌ها (کمتر از ۱ ppm) تا گابروها (۴ ppm) و سینیت‌ها (۶ ppm) سیر صعودی دارد. (جدول ۳). Rb نیز چنین حالتی داشته و در کلینوپیروکسنیت‌ها کمترین و در سینیت‌ها بیشترین فراوانی را دارند. در مقابل چنانکه انتظار می‌رود عناصر واسطه در کلینوپیروکسنیت‌ها حضور چشمگیری دارند. در این میان V با بیش از ۶۰۰ ppm در رده‌های بعدی قرار می‌گیرند. این عناصر در گابروها به مراتب از سینیت‌ها فراوان‌ترند (به جدول ۳ مراجعه شود). در نمودارهای هارکر عناصر کمیاب نسبت به MgO نیز میزان Co, Ni در مجموعه با منیزیم همخوانی مثبت، Rb, Y, Nb با آن رابطه‌ی منفی نشان می‌دهد (شکل ۳). فراوانی Zr در این سنگ‌ها مستقل از تغییرات منیزیم ارزیابی می‌شود (شکل ۳).

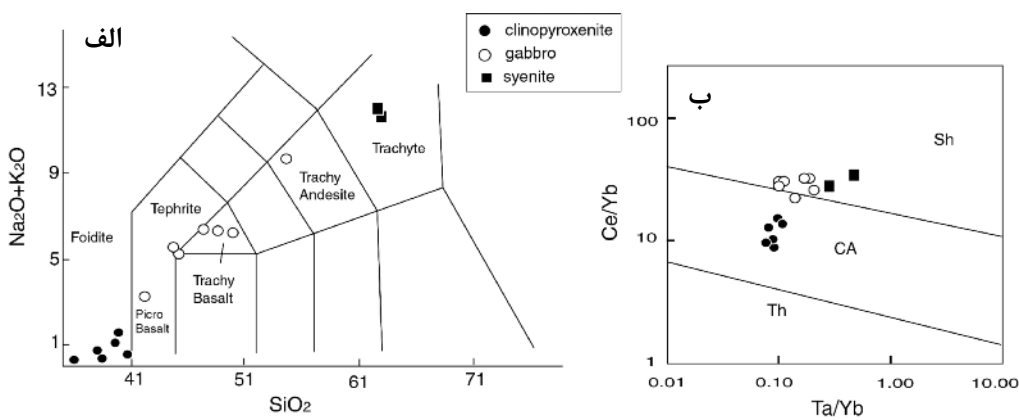
ماهیت ماقمای مادر این مجموعه بر پایه‌ی عناصر کمیاب (نمودار [Ta/Yb]-[Ce/Yb] (۷)) برای سینیت‌ها شوشونیتی،

جدول ۳ نتایج تجزیه عناصر کمیاب مجموعه‌ی پلوتونیک هشت سر کلیبر.

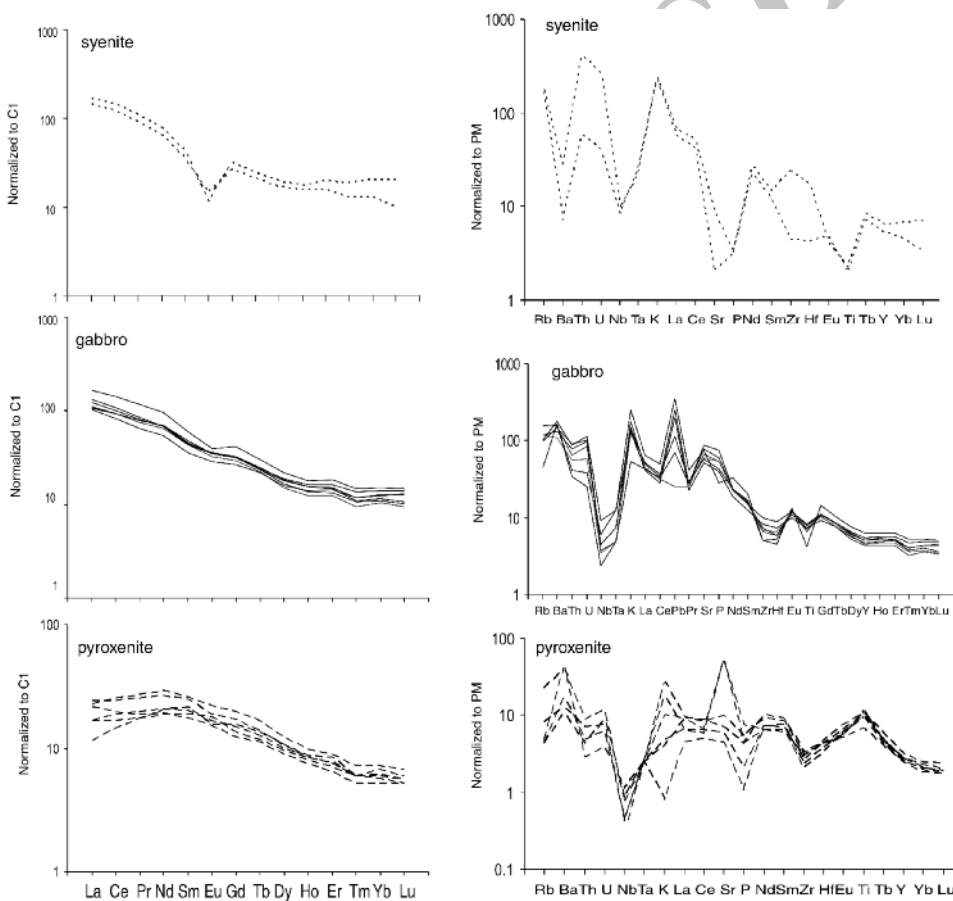
سنیت		گابریو							کلینتوپیروکسنینت						
AZ28	AZ38	AZ1	AZ25	AZ29	AZ30	AZ33	AZ34	AZ39	AZ11	AZ17	AZ22	AZ32	AZ35	AZ37	
۵۰,۵	۱۸۶,۵	۱۰۴۰	۱۱۴۵	۱۲۶۵	۷۷۶	۱۱۲۰	۹۳۵	۱۰۸۰	۹۰,۲	۲۹۷	۷,۱	۲۷۲	۱۱۷,۵	۷۳,۳	Ba
۱۰,۷	۱۱۲,۵	۶۱,۲	۲۷,۸	۶۳,۵	۷۵,۵	۹۶,۴	۷۶	۱۰۲,۵	۵,۱	۳	۰,۶	۱۴,۳	۲,۸	۲,۷	Rb
۴۲,۷	۱۹۱	۱۰۷۰	۱۸۷۰	۱۲۳۰	۱۲۶۵	۱۵۵۵	۱۶۵۰	۱۴۳۵	۱۴۴,۵	۱۱۰۰	۹۲,۲	۲۰۴	۱۰۸۵	۱۲۳,۵	Sr
۲۳,۷	۲۸,۷	۲۱,۵	۲۳	۲۵	۲۰,۸	۲۸,۶	۲۳,۲	۱۹,۴	۱۴,۳	۱۱,۶	۱۲,۵	۱۲,۱	۱۱	۱۲,۴	Y
۴۹,۸	۲۷۱	۹۱,۴	۵۶,۳	۱۱۱	۷۴,۹	۵۵,۸	۸۰,۵	۷۲,۱	۳۶,۳	۲۲,۲	۲۵,۱	۳۳,۶	۳۲,۲	۲۹,۱	Zr
۵,۹	۶,۸	۳,۲	۱,۷	۶,۵	۲,۵	۴,۴	۲,۷	۳,۲	۰,۳	۰,۸	۰,۲	۰,۵	۰,۳	۰,۶	Nb
۴,۹۹	۲۴,۳	۷,۷۴	۲,۸۵	۷,۵۳	۴,۷	۳,۵	۶,۵۱	۵,۴۸	۰,۵۹	۰,۳۴	۰,۱۱	۰,۷۳	۰,۴۱	۰,۳۶	Th
۳۳	۳۱	۱۴	۵	۸	۱۴	۲۵	۱۸	۱۶	<۵	۱۷	<۵	۵	۵	<۵	Pb
۱۷,۱	۲۲,۴	۱۷,۴	۱۹,۶	۱۸,۷	۱۶,۲	۱۵,۸	۱۸,۴	۱۶	۱۵,۷	۱۷,۵	۱۷,۶	۱۵	۱۷,۲	۱۶,۸	Ga
۳۸	۲۳	۸۲	۸۶	۵۷	۹۲	۷۰	۹۷	۹۵	۹۲	۷۳	۹۹	۹۵	۶۰	۹۲	Zn
۱۲	۷۱	۱۱۰	۱۷۲	۲۰۳	۱۳۲	۱۲۲	۱۸۱	۱۷۶	۱۷	۳۹۱	۱۳	۳۴	۹	۲۷	Cu
۷	۵	۱۸	۷	۲۴	۲۹	۵	۸	۲۲	۶۰	۹	۶۳	۷۰	۴۳	۵۴	Ni
۶۷	۴۹	۳۰,۸	۴۴,۲	۲۶,۵	۳۵,۸	۲۲,۲	۳۳,۶	۳۸,۳	۵۵,۴	۴۸,	۶۷,۴	۵۰,۹	۳۵,۵	۵۸,۰	V
۱,۳	۵,۴	۲,۳	۱,۶	۲,۷	۲	۱,۴	۱,۸	۱,۸	۱,۴	۱	۱,۲	۱,۳	۱,۳	۱,۳	Hf
۰,۸۲	۰,۴۸	۱,۲	۰,۴۱	۱,۷۸	۰,۹۷	۱,۲۶	۱,۵۸	۱,۵۱	۰,۹	۰,۶	۰,۲	۰,۳۱	۰,۰۸	۰,۰۷	Cs
۱	۰,۹	۰,۳	۰,۲	۰,۵	۰,۲	۰,۵	۰,۲	۰,۳	۰,۱	۰,۱	۰,۱	۰,۱	۰,۱	<۰,۱	Ta
۲,۹	۴,۳	۲۶,۴	۳۴,۲	۳۶,۶	۳۹,۸	۱۱,۶	۲۶,۵	۴۰,۴	۶۶	۴۳,۲	۷۶,۱	۶۳	۳۸,۳	۷۲,۶	Co
۰,۸۴	۵,۵۱	۲,۱۳	۰,۵۳	۲,۳۷	۱,۲۲	۰,۷۹	۲,۰۵	۱,۷۴	۰,۱۶	۰,۰۸	۰,۰۵	۰,۲۵	۰,۱۳	۰,۱۸	U
۱۰	۷	۹	۹	۶	۱۱	۴	۱۰	۵	۷	۹	۹	۴	۹	۳	W
۱	۱	۱	۱	۲	۱	۱	۱	۱	۲	۱	۲	۲	۱	۱	Sn
<۲	۲	۲	<۲	۳	۲	<۲	۲	<۲	<۲	<۲	<۲	<۲	<۲	<۲	Mo
۶۰	۴۰	۵۰	۴۰	۸۰	۱۱۰	۴۰	۴۰	۴۰	۱۵۰	۴۰	۵۰	۴۰	۵۰	۴۰	Cr
<۱	<۱	<۱	<۱	<۱	<۱	<۱	<۱	<۱	<۱	<۱	<۱	<۱	<۱	<۱	Ag



شکل ۳ نمودار تغییرات عناصر کمیاب واحدهای مافیک و اولترامافیک مجموعه نسبت به MgO. میزان Co, Ni در این سنگ‌ها با افزایش منیزیم بیشتر شده در حالیکه از مقدار Rb, Y, Nb, Zr کاسته شده است و فراوانی Zr در این سنگ‌ها مستقل از تغییرات منیزیم ارزیابی می‌شود. علائم مانند شکل قبلی است.



شکل ۴ رده بندی سنگ‌های پلوتونیک مجموعه‌ی هشت سر با استفاده از (الف) نمودار مجموع قلیایی نسبت به سیلیس [۶] و (ب) نمودار تعیین سرشت انواع سنگ‌های آذرین موجود در مجموعه‌ی هشت سر ارائه شده توسط [۷] که نشان‌دهنده‌ی ماهیت آهکی‌قلیایی کلینوپیروکسنیت‌ها و شوشونیتی گابروها و سینیت‌های است.



شکل ۵ الگوی تغییرات عناصر نادر خاکی و نمودار عنکبوتی در گروه‌های مختلف مجموعه‌ی هشت سر. مقادیر بهنجار سازی از [۸] گرفته شده است. به تشابه رفتار نمونه‌های هر گروه توجه شود.

کلینوپیروکسنیت‌ها با تحدب نسبی به سمت بالا در مورد LREE و شیب منفی ملایم به سمت HREE مشخص می‌شود. به عبارت دیگر بخش پر شیب این الگو در

عناصر نادر خاکی
با هدف آگاهی از فرایندهای وابسته به تولید گدازه و تغییرات بعدی، ترکیب عناصر نادر خاکی سنگ‌های مورد بررسی نسبت به کندریت به هنجار شدند. شکل الگوی

است (شکل ۶). نتایج حاصل نشان دهنده‌ی تبلور این کانی‌ها در مناطق قوس آتشفسانی و وابسته به کومولای اقیانوسی (همانند پریدوتیت‌های Et منطقه‌ی Alps ایتالیا [۱۴] است (شکل ۶). به طور کلی هر چه کلینوپیروکسن در فشارهای بالاتری متبلور شود از Na_2O , TiO_2 غنی تر بوده و عدد منیزیم آن بالاتر است. دلیل این امر این است که با افزایش فشار، دمای پیدایش کلینوپیروکسن نسبت به الیوین و پلازیوکلاز بیشتر شده و کلینوپیروکسن در مایعی شروع به تبلور می‌کند که هنوز از منیزیم غنی است و خیلی کم جادشه است [۱۵]. فشارهای بالای تبلور محاسبه شده برای کلینوپیروکسنتیت‌های مورد بررسی حاکی از وابستگی این واحد به لایه‌ی قاعده‌ای دنباله‌ی پوسته‌ی اقیانوسی است (جدول ۱). جایگاه قوس آتشفسانی برای کلینوپیروکسنتیت‌ها و گابروها از نمودارهای جدا کننده‌ی دیگر بر پایه‌ی ترکیب عناصر اصلی و کمیاب سنگ کل نیز استنتاج می‌شود (شکل ۷). یادآوری این نکته ضروری است که گابروها بخش شوشوونیتی تا آهکی-قلیایی قوس و کلینوپیروکسنتیت‌ها بخش تولثیتی آنرا نشان می‌دهند که بیانگر تقدم تشکیل کلینوپیروکسنتیت‌ها نسبت به گابروهاست. این نتیجه با مشاهدات صحرایی نیز تأیید می‌شود (به بخش ۲ متن مراجعه شود). سینیت‌ها نیز همانند گابروها محیط قوس و حاشیه‌ی فعال قاره را ثبت کرده‌اند (شکل ۸). همچنین با توجه به نمودارها معلوم می‌شود که این سینیت‌ها از نوع I و وابسته به فرایندهای بسا برخورند.

مشاهده شده، و قسمت آغازین و پایانی آن حالت پخیده شده است (شکل ۵). هیچ بیهنجاری در مورد Eu مشاهده نشده و این عنصر از شکل الگو پیروی کرده است. فراوانی این عناصر در گابروهای مورد بررسی ۱۰ (در مورد HREE) تا ۱۰۰ (در مورد REE) برابر کندریت‌های است. الگوی بیهنجار شده عناصر LREE دارای شبیه منفی (نسبت بالای LREE/HREE) بوده، از HREE تنهی و از LREE غنی شده است. در این الگو هیچ تهی شدگی مشخصی از Eu مشاهده نمی‌شود (شکل ۵). الگوی REE برای سینیت‌ها پر شبیه بوده، از LREE غنی و از HREE تنهی است. از MREE تا HREE شکل الگو مسطح است و در مورد Eu بیهنجاری منفی مشاهده می‌شود (شکل ۵). فراوانی مجموع عناصر نادر خاکی در کلینوپیروکسنتیت‌ها از بقیه واحدهای مجموعه به مراتب کمتر است (۴۰-۵۰ ppm). مجموع عناصر نادر خاکی در گابروهای هشت سر از کلینوپیروکسنتیت‌ها بیشتر و از سینیت‌ها کمتر بوده (در حدود ۱۵۰ ppm و در سینیت‌ها به ۱۷۵-۲۱۰ ppm می‌رسد (جدول ۴).

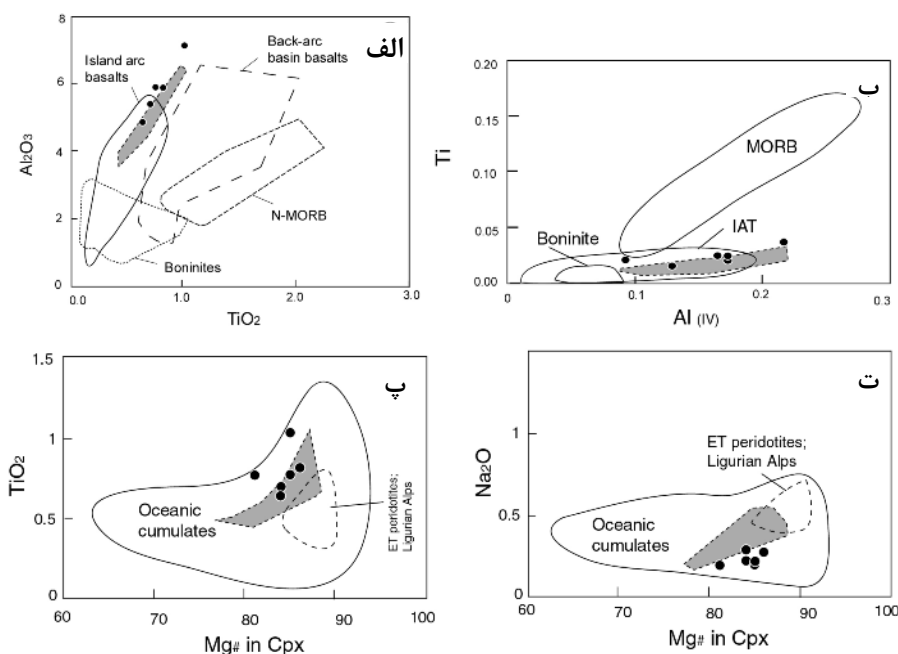
بحث و بررسی

جايگاه زمين‌ساختی و خاستگاه

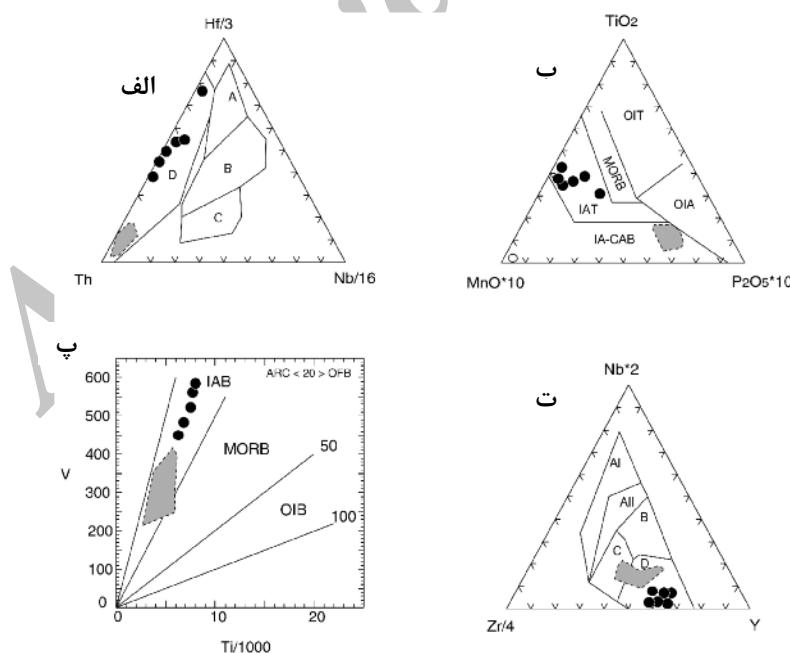
با توجه به در دست داشتن ترکیب کانی‌های موجود در واحدهای کلینوپیروکسنتیت و گابرو، از فراوانی عناصر اصلی موجود در کلینوپیروکسن برای تعیین محیط تبلور استفاده شد. رفتار این کانی‌ها در دو واحد کلینوپیروکسنتیت و گابرو مشابه

جدول ۴ نتایج تجزیه عناصر نادر خاکی در مجموعه‌ی پلوتونیک هشت سر کلیبر.

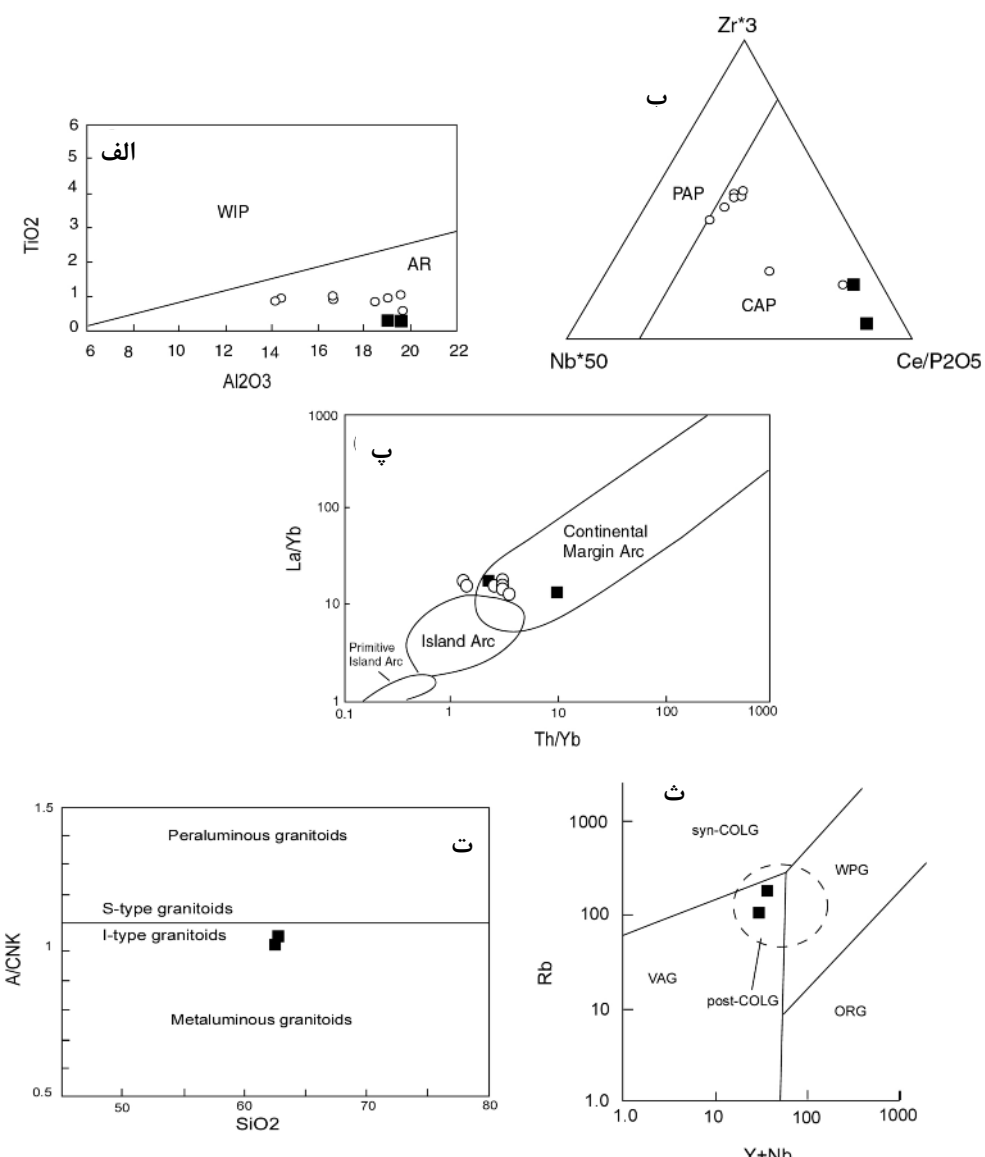
سینیت	گابرو							کلینوپیروکسنتیت								
	AZ28	AZ38	AZ1	AZ25	AZ29	AZ30	AZ33	AZ34	AZ39	AZ11	AZ17	AZ22	AZ32	AZ35	AZ37	
۳۹,۴	۴۵,۷	۲۸,۱	۲۹,۷	۳۵,۹	۲۹,۱	۴۴,۹	۲۲,۵	۳۰,۵		۶,۱	۴,۵	۳,۱	۶,۵	۵,۹	۴,۵	La
۷۳,۷	۹۱,۷	۵۰,۵	۵۷,۶	۶۶	۵۶,۹	۸۷,۳	۶۱,۵	۵۶,۷		۱۵,۴	۱۰,۲	۸,۸	۱۴,۷	۱۲	۱۱,۴	Ce
۸,۴۸	۱۰,۵۵	۶,۱۱	۷,۴۷	۸,۰۲	۷,۴	۱۱,۱۵	۷,۶۲	۷,۰۹		۲,۵۶	۱,۶۶	۱,۶۳	۲,۳۹	۱,۷۸	۱,۸۴	Pr
۳۰,۱	۳۶,۵	۲۵,۳	۲۲,۳	۳۱,۵	۳۲,۳	۴۴,۸	۳۱,۵	۳۰,۲		۱۳,۵	۸,۷	۹,۶	۱۲,۴	۸,۹	۹,۶	Nd
۵۴۴	۶,۴۶	۵,۵	۷,۳۵	۶,۵۹	۷,۰۹	۹,۱	۶,۸۱	۶,۶۶		۳,۹۵	۲,۸۲	۳,۲۸	۳,۷۴	۲,۶۶	۳,۰۶	Sm
۰,۸۲	۰,۶۷	۱,۶۶	۲,۰۴	۲	۲	۲,۲۸	۲,۰۹	۱,۸۸		۱,۲۸	۱,۰۲	۰,۹	۱,۰۷	۰,۸۷	۰,۹۵	Eu
۵,۳۸	۶,۵۸	۵,۴۱	۶,۵۹	۶,۴۵	۶,۴۹	۸,۴۸	۶,۶۳	۶,۰۷		۳,۹۸	۲,۷۵	۳,۱۶	۳,۴۷	۲,۵۳	۳,۰۳	Gd
۰,۷۷	۰,۹۱	۰,۸۱	۰,۹۳	۰,۹۱	۰,۸۹	۱,۱۲	۰,۸۸	۰,۸۳		۰,۶۲	۰,۴۴	۰,۵	۰,۵۱	۰,۴۲	۰,۴۷	Tb
۴,۱۹	۴,۸۴	۴,۰۷	۴,۶۵	۴,۷۳	۴,۲۴	۵,۵۷	۴,۵۲	۳,۸۶		۳,۰۹	۲,۳۹	۲,۶۷	۲,۶۴	۲,۳۲	۲,۵۴	Dy
۰,۸۸	۰,۹۸	۰,۷۹	۰,۸۸	۰,۹۱	۰,۷۷	۱,۰۲	۰,۸۷	۰,۷		۰,۵۵	۰,۴۵	۰,۴۹	۰,۴۷	۰,۴۲	۰,۴۶	Ho
۲,۵۸	۳,۱۷	۲,۳۸	۲,۴۵	۲,۷۱	۲,۲	۳,۰۱	۲,۴۸	۲,۰۷		۱,۴۶	۱,۱۶	۱,۳۸	۱,۲۵	۱,۰۵	۱,۲۶	Er
۰,۳۳	۰,۴۷	۰,۳	۰,۲۸	۰,۳۵	۰,۲۷	۰,۳۸	۰,۳	۰,۲۴		۰,۱۸	۰,۱۵	۰,۱۵	۰,۱۵	۰,۱۳	۰,۱۵	Tm
۲,۲۲	۳,۳۸	۲,۱۶	۱,۹۴	۲,۳۹	۱,۸۵	۲,۵۸	۲,۱	۱,۷۵		۱,۲	۱,۰۱	۱,۰۴	۰,۹۷	۰,۸۸	۱,۱۲	Yb
۰,۲۵	۰,۵۱	۰,۳۲	۰,۲۷	۰,۳۶	۰,۲۶	۰,۳۷	۰,۳۳	۰,۲۵		۰,۱۷	۰,۱۴	۰,۱۴	۰,۱۳	۰,۱۳	۰,۱۵	Lu



شکل ۶ استفاده از ترکیب کانی کلینوپیروکسن برای تعیین خاستگاه سنگ‌های مافیک و اولترامافیک هشت سر. (الف) مرزها: بونینیت‌ها از [۹] بازالت جزایر قوسی و حوضه‌ی پشت قوس از [۱۰] بازالت پشتیه‌ی میان اقیانوسی از [۱۱] (ب) نمودار مرزها از [۱۲] که بیانگر محیط وابسته به تولئیت‌های قوس آتشفسنایی است. (پ) و (ت) نمودارهای TiO_2 , Na_2O بر حسب عدد منیزیم در کلینوپیروکسن. داده‌های مرز کومولای اقیانوسی از [۱۳] و بخش وابسته به پریدوتیت ET ایتالیا از [۱۴] در همه‌ی نمودارها بخش خاکستری نشان‌دهنده‌ی ترکیب کانی‌های موجود در گابروهای هشت سر [۵] و دایره‌های توپر به کلینوپیروکسنیت‌ها وابسته‌اند.



شکل ۷ (الف) نمودار [۱۶] که در آن گستره‌های A شامل بازالت پشتیه‌ی میان اقیانوسی نرم‌ال، B بازالت پشتیه‌ی اقیانوسی غنی‌شده و تولئیت‌های داخل قاره، C بازالت‌های قلیایی داخل قاره و D معرف بازالت‌های قوس آتشفسنایی است. (ب) نمودار [۱۷] که نمونه‌ها در موقعیت بازالت‌های قوسی تولئیتی قرار گرفته‌اند. (پ) نمودار [۱۸] مشخص کننده‌ی موقعیت وابسته به فرورانش (ت) نمودار [۱۹] که در آن AI معرف بازالت قلیایی داخل قاره‌ای، AII تولئیت و بازالت قلیایی داخل قاره‌ای، B بازالت پشتیه اقیانوسی غنی‌شده، C بازالت قوس آتشفسنایی و تولئیت داخل قاره، D بازالت پشتیه اقیانوسی نرم‌ال و قوس آتشفسنایی است. گستره‌ی خاکستری وابستگی گابروهای هشت سر را نشان می‌دهد [۵].



شکل ۸ نمودارهای تعیین محیط زمین‌ساختی گابروها و سینیت‌های هشت سر. علائم مانند شکل‌های قبلی هستند. الف و ب) از [۲۰] پ) نمودار ارائه شده توسط [۲۱] نشان می‌دهد گابروها و سینیت‌های منطقه‌ی واپسته به قوس حاشیه قاره هستند. ت) تعیین نوع گرانیت‌وئید سینیت‌های مجموعه‌ی هشت سر. ث) نمودار [۲۲] برای نشان دادن محیط تشکیل سینیت‌های منطقه. علائم همانند شکل ۴ است.

لایه‌ای یا چین‌های هم شیب یا بودیناژی موازی با لایه‌های بندی تکتونیات قاعده‌ای ظاهر شده‌اند.

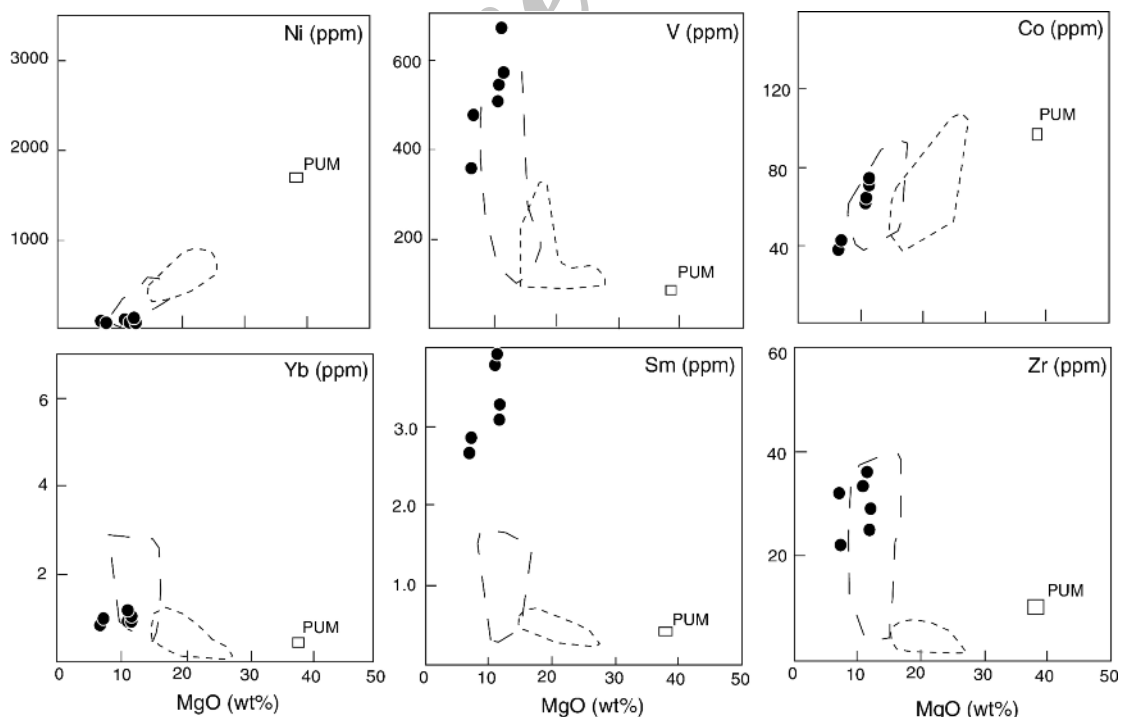
تفسیر الگوی عنصر نادر خاکی و نمودارهای عنکبوتی
کلینوپیروکسنیت‌های هشت سر با داشتن الیونین زیاد، نسبت به گابروها و سینیت‌ها از REE کمتری برخوردارند. به عقیده‌ی [۲۷]، تحبد الگوی REE این سنگ‌ها به سمت بالا از سرشتی‌های کومولای اقیانوسی پیروکسن‌دار است. فراوانی Ti , Sr در این سنگ‌ها با ترکیب مذکور سنگ کنترل می‌شود. به دلیل حضور ایلمنیت در این سنگ‌ها میزان Ti بالاست. وجود

کلینوپیروکسنیت‌های مجموعه‌ی هشت سر با سنگ‌های اولترامافیک ماسیو روندا [۲۳] نیز مقایسه شد. ماسیو روندا در اسپانیا بزرگترین توode‌ی پریدوتیتی جهان (300 km^2) در منتهی‌الیه کوه‌زایی آلپی رخمنون یافته است [۲۴, ۲۵]. کلینوپیروکسنیت‌های مورد بررسی از نظر برخی عنصر واسطه، کمیاب و نادر خاکی بسیار مشابه گروه A پریدوتیت‌های روندا هستند (شکل ۹). گروه A این ماسیو به عنوان قطعاتی از گوشته یا پوسته‌ی اقیانوسی (بازگشته به سطح) و قدیمی‌ترین واحد اولترامافیک آن مجموعه تفسیر شد [۲۶] و به صورت

مشارکت قابل توجه پلاژیوکلاز در تشکیل ماقمای مولد گابروهاست (شکل ۵). تهی شدگی چشمگیر HREE نشانگر باقی ماندن گارنت در فاز تفاله و عدم مشارکت آن در فرایند تولید گدازه است. الگوی نسبتاً مسطح MREE در نتیجه‌ی حضور آمفیبیول زیاد از نوع چرماتیت – پارگازیت در این سنگ‌هاست. غنی شدگی شدید از Sr, P, Eu, Gd, LILE آلیش پوسته‌ای و حضور کانی‌هایی مانند پلاژیوکلاز (Sr, Eu, Sr)، آمفیبیول (Gd) و آپاتیت (P) وابسته است. بیهنجاری منفی شدید Ti, Ta, Nb, V سرشتی بازالت‌های حاشیه‌ای (قوس قاره‌ای یا اقیانوسی) [۳۰] و نیز تأثیرگذاری اجزای فرورانشی است [۵]. نمودار عنکبوتی سینیت‌های هشت سر به هنجار شده نسبت به b, Sr, P, Ti گوشه‌ی اولیه، بیهنجاری منفی قابل ملاحظه‌ی داشت [۳۱]. نشان دهنده‌ی سرشتی ترکیب پوسته‌ی فوکانی است [۳۱]. بیهنجاری منفی شدید Sr ممکن است در نتیجه‌ی فرار این عنصر حین هوازدگی به وجود آمده باشد (شکل ۵). همچنین فقر از Sr, Ba, Eu در این سنگ‌ها احتمالاً ناشی از باقی ماندن فلدسپار در فاز تفاله‌ی این ماقماه است.

مقادیری فلوگوپیت نیز باعث ازدیاد Sr, Nb, Ta, K نشانگر وابستگی این واحد به محیط فرورانش است (شکل ۵). اغلب HFSE در این واحد تهی شدگی نشان می‌دهند که علاوه بر فقر از زیرکن مدعی نشانه‌ی نقش کمنگ پوسته‌ی قاره‌ای است [۲۲]. کلینوپیروکسن‌های این واحد از HfO₂, Na₂O, Mg[#] حاصل تبلور کومولایی است [۲۸, ۲۹]. به عقیده‌ی [۲۹] سرشتی‌های ترکیبی یاد شده در کلینوپیروکسن‌ها به تبلور گدازه‌ی به دام افتاده پس از تشکیل کومولای اولیه وابسته است (postcumulus). پریدوتیت‌های ET ایتالیا نیز مانند پیروکسنیت‌های هشت سر دارای همین سرشتی‌هاست و با پژوهش‌های ایزوتوپی فراوان چگونگی این شکل گیری ارائه شده است [۱۴].

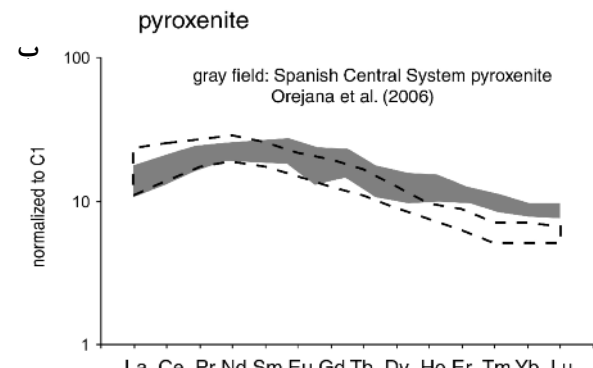
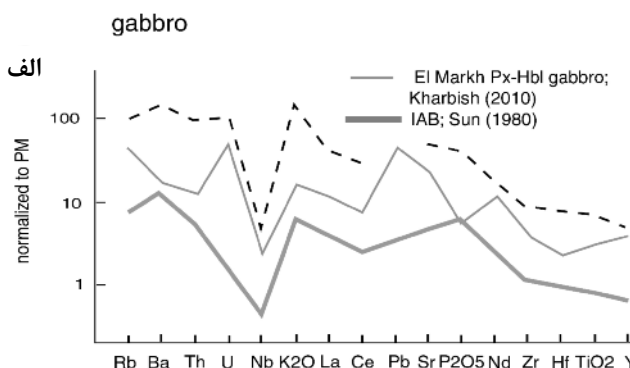
غنی شدگی LREE در گابروهای هشت‌سر با جدایش کانی‌ها و خاستگاه اولیه غنی از LREE قابل توجیه است. در الگوی تغییرات عناصر نادر خاکی گابروهای این ناحیه هیچ تهی شدگی مشخصی از Eu مشاهده نمی‌شود که بیانگر



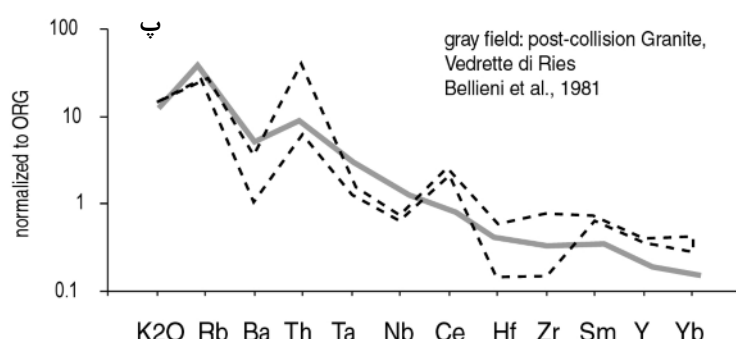
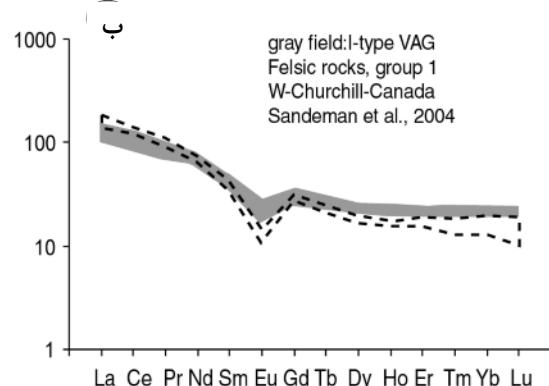
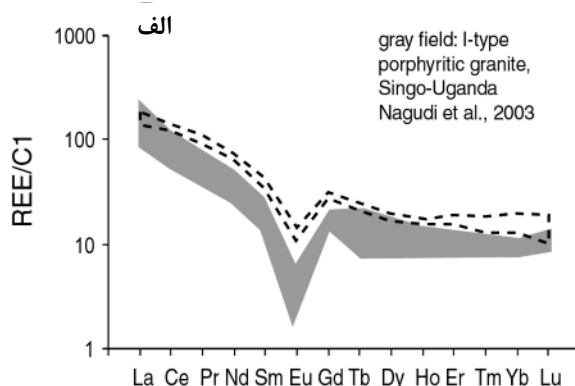
شکل ۹ مقایسه‌ی ترکیب کلینوپیروکسنیت‌های هشت سر با پیروکسنیت‌های گروه B، ماسیو روندا [۲۳]. تشابه قابل توجهی بین کلینوپیروکسنیت‌های مورد بحث با گروه A روندا دیده می‌شود. خط چین درشت معرف نوع A و خط چین ریز نشانگر نوع B پیروکسنیت‌های ماسیو روندا را نشان می‌دهند. برای توضیح بیشتر به متن مراجعه شود.

اسپانیا که از مرز گوشه‌ی فوقانی با پوسته‌ی زیرین ریشه گرفته‌اند مشابه بوده و گابروها وابسته مثبتی با گابروهای مربوط به قوس آتش‌شانی نشان می‌دهند (شکل ۱۰). سینیت‌های این مجموعه با سینیت‌های نوع I پس از برخورد تطابق کامل دارند (شکل ۱۱).

با هدف آگاهی بیشتر در جایگاه زمین‌ساختی واحدهای مجموعه‌ی هشت سر، الگوی REE و یا نمودار عنکبوتی این سنگ‌ها با سنگ‌های مشابه بررسی شده‌ی دیگر نقاط، توسط زمین‌شناسان مقایسه شد. بر این اساس کلینوپیروکسنیت‌های مورد بررسی با پیروکسنیت‌های گوشه‌ای سیستم مرکزی



شکل ۱۰ مقایسه‌ی روند تغییرات عناصر نادر خاکی و کمیاب گابروها و کلینوپیروکسنیت‌های هشت سر با نواحی مختلف [۳۲-۳۴]. خط چین‌ها معرف نمونه‌های این پژوهش هستند.



شکل ۱۱ مقایسه‌ی الگوی تغییرات عناصر نادر خاکی و کمیاب سینیت‌های هشت سر با الگوی گرانیتوئیدهای نوع I بررسی شده توسط زمین‌شناسان، به نواحی مختلف [۳۵-۳۷] اوگاندا و کانادا وابسته‌اند که به خوبی با آنها همخوانی دارند.

از وابستگی این سنگ‌ها به کومولاهای تأخیری اقیانوسی است. همچنین کلینوپیروکسینیت‌های مورد بررسی از نظر ژئوشیمیایی مشابه پیروکسینیت‌های گروه A ماسیو روندا در اسپانیا هستند که به عنوان بخشی از بقایای تکتونیت قاعده‌ای پوسته‌ی اقیانوسی بازگشته به سطح، شناخته می‌شود. در طول فرورانش پالئوتیس دوم، گابروها که سرشتی‌های قوس آتشفسانی را ثبت کرده‌اند، شکل گرفته‌اند. با اتمام فرورانش (اقیانوس پالئوتیس دوم و یا نئوتیس) سینیت‌های پس از برخورد مجموعه شکل گرفته‌اند که دارای همه‌ی ویژگی‌های این نوع سنگ آذرین هستند. مدل ژئودینامیکی ارائه شده در چگونگی تشکیل این مجموعه پلوتونیک، با توجه به مشاهدات بزرگ مقیاس و بررسی‌های جزئی، ارتباط احتمالی این مجموعه با فرورانش ضلع غربی اقیانوس پالئوتیس دوم را در شمال‌غرب ایران تأیید می‌کند.

مراجع

- [1] Meherpartou M., Nazer N., Emami M.H., "1:100000 geological map of Kaleybar", Geological Survey of Iran, (1999), no. 5467.
- [۲] بزرگ‌ا، پورکرانی، م، مؤید، م، حاجی علی بیگی ح، "تکوین ساختاری زون چین خورده الهیارلو در پهنه البرز غربی، چهاردهمین همایش انجمن زمین شناسی ایران، دانشگاه رومیه، (۱۳۸۹).
- [۳] مؤید، م، مجرد، "تکوین اقیانوس پالئوتیس دوم در ایران"، یازدهمین همایش انجمن زمین شناسی ایران، دانشگاه فروسی مشهد، (۱۳۸۶).
- [۴] مؤید، م، مجرد، حسین‌زاده، "برآورد دما - فشار و گرینزندگی اکسیژن در گابرو - پیروکسینیت‌های تازه کند کلیبر، با تمرکز بر شیمی بلورها و فعالیت کانیها"، مجله بلورشناسی و کانی شناسی ایران، شماره (۳)، ۱۸(۳)، (۱۳۸۹) ۳۹۶-۳۸۱.
- [۵] مجرد، م، مؤید، م، حسین‌زاده، گابروی هشت سر کلیبر، اثر متساموتابیسم مرتبط با فرورانش، مجله زمین شناسی ایران، جهاد دانشگاهی شهید بهشتی (پذیرفته شده)، ۱۳۸۹.
- [6] Le Maitre R.W., Bateman P., Dudek A., Keller J., Lameyre Le Bass M.J., Sabine P.A., Schmid R., Sorensen H., Streckeisen A., Wooley A.R., Zanettin B., "A classification of igneous rocks and glossary of terms", Blackwell, Oxford (1989).

دو مدل برای شکل‌گیری مجموعه‌ی پلوتونیک هشت سر پیشنهاد می‌شود. اول: بر اساس این مدل فرورانش ورقه‌ی اقیانوسی پالئوتیس دوم که همراه با نفوذ شاره‌های این ورقه به گوهی گوشه‌ای بوده است، منجر به ذوب بخشی مرز گوشه‌ی فوقانی و بخشی از پوسته زیرین شده که اولین گدازه‌ها کلینوپیروکسینیت‌ها را تشکیل داده‌اند. فشارسنجی انجام شده، عمقی برابر ۳۰ km را برای تشکیل این سنگ‌ها پیشنهاد می‌کند که تقریباً معادل مرز پوسته‌ی زیرین با گوشه است. با صعود گدازه و آلایش آن با بخشی از پوسته‌ی فوقانی ماقمای مربوط به گابروها حین فرورانش و تشکیل قوس آتشفسانی ایجاد شده است [۵]. با اتمام فرورانش و پس از برخورد ورقه‌های قاره‌ای، سینیت‌های این ناحیه در حاشیه‌ی فعال قاره نفوذ کرده‌اند. این مجموعه در حد فاصل عملکرد گسل‌های وارون و رانده شدن هوراند و مختکان در سطح ظاهر شده است (شکل ۱). دوم: کلینوپیروکسینیت‌ها بخشی از تکتونیت قاعده‌ای پوسته اقیانوسی پالئوتیس دوم بوده و گابروهای وابسته به گدازه‌های متأثر از فرورانش در ناحیه‌ی قوس آتشفسانی هستند. با توجه به همزمانی و شباهت ژئوشیمی و کانی شناسی دایک‌های سینیتی جوان با نفلین سینیت کلیبر، این دایک‌ها ممکن است به فعالیت‌های ماقمایی پس از بسته شدن اقیانوس نئوتیس وابسته باشند. این مدل‌ها احتمالی بوده و ممکن است با بررسی‌های بیشتر (ابزوتوبی) اصلاح شوند.

برداشت

سنگ‌های پلوتونیک مجموعه‌ی هشت سر کلیبر شامل کلینوپیروکسینیت‌ها، گابروها و سینیت‌ها، از نظر فراوانی عناصر و نسبت‌های ژئوشیمیایی کانی‌ها، بویژه سنگ کل مورد بررسی قرار گرفتند. از نظر سرشت ماقمایی، کلینوپیروکسینیت‌های آهکی - قلیایی با پتاسیم پائین، گابروها شوشوونیتی تا آهکی - قلیایی با پتاسیم بالا و سینیت‌ها شوشوونیتی بررسی شدند. واحدهای مجموعه‌ی یاد شده، سرشتی‌های مذکور مشخصات جایگاه حاشیه‌ی فعال قاره و موقعیت وابسته به فرورانش را بخوبی نشان می‌دهند. کلینوپیروکسینیت‌ها بخش تولئیتی و گابروها بخش شوشوونیتی قوس آتشفسانی را تشکیل می‌دهند. شیمی کانی‌های موجود در کلینوپیروکسینیت‌ها و گابروها حاکی

- British Tertiary volcanic province”, Earth and Planetary Sciences Letters, 50 (1980) 11-30.*
- [17] Mullen E. D., “*MnO/TiO₂P₂O₅: a minor element discriminant for basaltic rocks of oceanic environments and its implications for petrogenesis”, Earth and Planetary Sciences Letters, 62 (1983) 53-62.*
- [18] Shervais J. W., “*Ti-V plots and petrogenesis of modern and ophiolitic lavas”, Earth and Planetary Sciences Letters, 23 (1982) 319-351.*
- [19] Meschede M., “*A method of discriminating between different types of mid-ocean ridge basalts and continental tholeiites with the Nb-Zr-Y diagram”, Chemical Geology, 56 (1986) 207-218.*
- [20] Muller D., Groves D.I., “*Direct and indirect associations between potassic igneous rocks, shoshonites and gold-copper deposits”, Ore Geology Review, 8 (1991) 383-406.*
- [21] Condie K.C., “*Plate tectonics and crustal evolution”, Pergamon Press. (1989) 476p.*
- [22] Pearce J.A., Harris N.B.W., Tindle A.G., “*Trace element discrimination diagrams for the tectonic interpretation of granitic rocks”, Journal of Petrology, 25 (1984) 956-983.*
- [23] Bodinier J.L, Garrido C.J., Chanefo I., Bruguier O., Gerville F., “*Origin of Pyroxenite-Peridotite VeinedMantle by Refertilization Reactions: Evidence from the Ronda Peridotite (Southern Spain)”, Journal of Petrology, 49 (2008) 999-1025.*
- [24] Booth-Rea G., Azanon J. M., Martinez-Martinez J. M., Vidal O., Garcia Duenas V., “*Contrasting structural and P-Tevolution of tectonic units in the southeastern Betics: Key for understanding the exhumation of the Alboran Domain HP/LTcrustal rocks (western Mediterranean)”, Tectonics, 24, doi:10.1029/2004TC001640, (2005).*
- [25] Precigout J., Gueydan F., Gapais D., Garrido C. J., Essaifi A., “*Strain localisation in the subcontinental mantleça ductile alternative to the brittle mantle”, Tectonophysics, 445 (2007) 318-336.*
- [26] Garrido C.J., Bodinier J.L., “*Diversity of mafic rocks in the Ronda Peridotite; evidence for pervasive melt-rock reaction during heating subcontinental lithosphere by upwelling asthenosphere”, Journal of Petrology, 40 (1999) 729-754.*
- [7] Peccerillo A., Taylor S.R., “*Geochemistry of Eocene calc-alkaline volcanic rocks from the Kastamonu area, North Turkey”, Contributions to Mineralogy and Petrology, 58 (1976) 63-81.*
- [8] Sun S. S., McDonough W. F., “*Chemical and isotopic systematic of oceanic basalts: implications for mantle composition and processes”, In: Saunders A.D. Norry M.J.(eds), Magmatism in the Ocean Basins. Geological Society, London, Special Publications, 142 (1989) 313-345.*
- [9] Van der Laan S. R., Arculus R. J., Pearce J. A. & Murton B. J., “*Petrography, mineral chemistry, and phase relations of the basement boninite series of site 786, Izu-Bonin forearc”, In: Fryer P., Pearce J. A., Stokking L. B., et al. (eds) Proceedings of the Ocean Drilling Program Scientific Results, 125. College Station, TX: Ocean Drilling Program (1992) 171-201.*
- [10] Hawkins J. W., Allan J. F., “*Petrologic evolution of Lau Basin sites 834 through 839”, In: Hawkins J., Parson L., Allan J., Resig J., Weaver P., editors. Proceedings of the Ocean Drilling Program, Scientific Results, 135. College Station, TX: Ocean Drilling Program (1994) 427-470.*
- [11] Stakes d. S., Franklin J. M., “*Petrology of igneous rocks at Middle Valley, Juan de fuca Ridge, Proceedings of the Ocean Drilling Program”, Scientific Results, Vol. 139, doi:10.2973/odp.proc.sr.139.212 (1994).*
- [12] Beccaluva L., Macchiotta G., Piccardo G.B., and Zeda O., “*Clinopyroxene composition of ophiolite basalts as petrogenetic indicator”, Chemical Geology, 77 (1989) 165-182.*
- [13] Elthon D., Stewart M., Ross K.D., “*Compositional trends of minerals in oceanic cumulates”, Journal of Geophysical Research, 97 (1992) 15189-15199.*
- [14] Borghini G., Rampone E., Crispini L., De Ferrari R., Godard M., “*Origin and emplacement of ultramafic-mafic intrusions in the Erro-Tobbio mantle peridotite, Italy”, Lithos, 94 (2007) 210-229.*
- [15] Bender J.F., Hodges F.N., Bence A.E., “*Petrogenesis of basalts from the project FAMOUS area: experimental study from 0 to 15 Kbar”, Earth Planetary Sciences Letters, 41 (1978) 277-302.*
- [16] Wood D. A., “*The application of a Th-Hf-Ta diagram to problems of tectonomagmatic classification and to establishing the nature of crustal contamination of basaltic lavas of the*

- [33] Sun S. S., "Lead isotopic study of young volcanic rocks from mid-ocean ridges, ocean islands and island arcs", Phil Trans R Soc, 397 (1980) 409-445.
- [34] Orejana D., Villaseca C., Paterson B.A., "Geochemistry of pyroxenitic and hornblenditic xenoliths in alkaline lamprophyres from the Spanish Central System", Lithos, 86 (2006) 167-196.
- [35] Nagudi B., Koeberl C., Kurat G., "Petrography and geochemistry of the Singo granite, Uganda, and implications for its origin", Journal of African Earth Sciences, 36 (2003) 73-87.
- [36] Sandeman H.A., Hanmer S., Davis W.J., Ryan J.J., Peterson T.D., "Whole-rock and Nd isotopic geochemistry of Neoarchaean granitoids and their bearing on the evolution of the Central Hearne supracrustal belt, Western Churchill Province, Canada", Precambrian Research, 134 (2004) 143-167.
- [37] Bellieni G., Peccerillo A., Poli G., "The Vedrette di Ries cratonic complex: petrological and geochemical data bearing on its genesis", Contributions to Mineralogy and Petrology, 78 (1981) 145-156.
- [27] McDonough W.F., Frey F.A., "Rare earth elements in upper mantle rocks", In: Eds, Geochemistry and mineralogy of REE, Review in Mineralogy, 21 (1989) 99-145.
- [28] Ross K., Elthon D., "Cumulus and postcumulus crystallization in the ocean crust: major-and trace-element geochemistry of leg 153 gabbroic rock", In: Ocean Drilling Program, College Station, Texas, (1997) 333-350.
- [29] Meyer P.S., Dick H.J.B., Thomson G., "Cumulates gabbro from the Southwest Indian Ridge, 54°S-7°E: implication for magmatic processes at a slow spreading ridge", Contributions to Mineralogy and Petrology, 103 (1989) 44-63.
- [30] Pearce J. A., "Sources and setting of granitic rocks", Episodes, 19 (1996) 120-125.
- [31] Rollinson H., "Using Geochemical Data: Evaluation, Presentation, Interpretation", Longman, Harlow, UK, pp. (1993) 325pp.
- [32] Kharbish S., "Geochemistry and magmatic setting of Wadi El-Markh island-arc gabbro-diorite suite, central Eastern Desert, Egypt", Chemie der Erde, 70 (2010) 257-266.